

# 一类具有非线性项和波动算子 的广义RLW方程的数值计算问题

北京九所

郭柏灵 余淑珍

## § 1、引言

在(1)中研究了RLW方程的数值计算方法。在(2)中提出了具波动算子的线性RLW方程的物理问题。如同(3)中对非线性KdV-Gordon方程的数值计算，本文考虑如下一类具有非线性项和波动算子的广义RLW方程：

$$U_{tt} - U_{xx} + f_1(U_t) + f(U)_x - U_{xxx} + g(U) = 0 \quad (1.1)$$

具初始条件

$$U|_{t=0} = U_0(x), \quad U_t|_{t=0} = U_1(x) \quad (1.2)$$

和边界条件

$$U|_{x=0} = U|_{x=1} = 0 \quad (1.3)$$

的数值计算问题。其中  $f(u)$ ,  $f_x(u)$ ,  $g(u)$  均为已知的实函数。通过理论分析和数值计算，我们发现非齐项  $g(u)$  的正、负号，增长阶数以及它和  $f(u)$  增长阶数的相互制约对于方程(1.1)的物理图象起着很重要的作用，特别我们具体地计算出(1.1)物理解“below up”的图象。在 § 2 中，我们对该方程定解问题的一类差分格式证明它的收敛性和稳定性。在 § 3 中，我们对几种差分格式和若干物理模型给出结果，作简单比较，并予以说明。

## § 2、一类差分格式及其收敛性

设  $Q = (0, 1) \times (0, T)$  为矩形区域，我们以直线  $t = mk$ ,

$X = p$  将区域  $Q$  分为许多小网格，其中  $m$  为整数， $m \in [0, (T/h)]$ 。  
 $P$  为整数， $p \in [0, (n-1)]$ ，设内点网格的全体为  $Q_h$ ，其余含边界点的网格为  $S_h$ 。以  $\Omega(t)$  表示 ( $x=const$ )  $\cap Q_h$  记

$$\varphi_x(x, t) = \frac{1}{h} [\varphi(x+h, t) - \varphi(x, t)] = D_t \varphi,$$

$$\varphi_{\bar{x}}(x, t) = \frac{1}{h} [\varphi(x, t) - \varphi(x-h, t)],$$

$$\varphi_{\hat{x}}(x, t) = \frac{i}{2h} [\varphi(x+h, t) - \varphi(x-h, t)].$$

同样可定义  $\varphi_t$ ， $\varphi_{t^*}$ 。我们定义离散模如下：

$$\|\varphi\|_{\Omega(t)}^2 = h \sum_n \varphi^2(x, t), \quad \|\varphi\|_{Q_h} = Kh \sum_{Q_h} \varphi^2(x, t),$$

$$(f, g)_h = h \sum_n f(x, t) g(x, t), \quad \|\varphi\|_{\ell, n}^2 = \|\varphi\|_{\Omega(t)}^2 + \sum_{|l| \leq \ell} \|D_t^l \varphi\|_{\Omega(t)}^2,$$

$$\|\varphi\|_{L^\infty(\Omega)} = \sup_{x_i \in \Omega} |\varphi(x_i)|, \quad \|D_t^\ell \varphi\|_{\infty} = \sup_{x_i \in \Omega} |D_t^\ell \varphi|$$

现考虑相应于问题 (1.1) - (1.3) 的差分定解问题为

$$\begin{cases} \varphi_{tt} - \varphi_{xx} + f_1(\varphi_t) + f(\varphi) \varphi - \varphi_{x\bar{x}t} + g(\varphi) = 0 & (2.1) \\ \varphi|_{S_h} = 0, \quad \varphi|_{t=0} = u_0(x), \quad \varphi_t|_{t=0} = u_1(x) & (2.2) \end{cases}$$

对于问题 (2.1) (2.2) 的解，我们作如下的估计。

引理 1 (差分算子  $S \circ D \circ L \circ e \circ v$  不等式(4)) 给定  $\varepsilon > 0$ ，存在常数  $C$  依赖于  $\varepsilon$  和  $n$ ，使得

$$\|D_t^\ell \varphi\|_{\infty(n)} \leq \varepsilon \|\varphi\|_{n,n} + C \|\varphi\|_n, \quad \ell < n, \quad (2.3)$$

$$\|\varphi\|_{\ell, n} \leq \varepsilon \|\varphi\|_{n,n} + C \|\varphi\|_n, \quad \ell \leq n$$

引理 2、若满足以下条件：(1)  $g'(u) \geq 0$ ，

$$G(u) = \int_0^u g(z) dz \geq 0, \quad f_1(u) u \geq 0$$

(2) 存在常数  $\alpha > 0$ , 使得  $\varphi^2(u) \leq \alpha G(u)$ , 且  $\varphi(0) = 0$

(3)  $u_0(x) \in L^p_0$ ,  $u_1(x) \in L_2$ ,  $G(u_+) \in L_1$  则对问题 (2.1) (2.2) 的解有估计

$$\|\varphi_{ET}\|_{\Omega(T)}^2 + \|\varphi_{Tx}\|_{\Omega(T)}^2 + (\varphi(\varphi), 1)_H \leq E_1. \quad (2.4)$$

其中常数  $E_1$  与  $n$  无关。

引理 3、若满足引理 2 条件, 则有

$$\|\Psi\|_{L^\infty} \leq E_1 \quad (2.5)$$

其中常数  $E_1$  与  $n$  无关。

引理 4、若满足引理 2 条件, 且满足

(1)  $f_1(u) \in C^1$       (2)  $f(u) \in C^2$ ,  $\bar{f}(u) \in C^1$

(3)  $u_0(x) \in H^2 \cap H_0^1$ ,  $u_1(x) \in H_0^1$ , 则有估计

$$\|\varphi_{ET}\|_{\Omega(T)}^2 + \|\varphi_{Tx}\|_{\Omega(T)}^2 \leq E_2. \quad (2.6)$$

其中常数  $E_2$  与  $n$  无关。

推论 1.       $\|\varphi_{xx}\|_{\Omega(T)}^2 \leq E_3$       (2.7)

其中常数  $E_3$  与  $n$  无关。

推论 2.       $\|\varphi_{x\bar{x}}\|_{\Omega(T)}^2 \leq E_4$       (2.8)

其中常数  $E_4$  与  $n$  无关。

定义: 函数  $u(x, t)$  称为问题 (1.1)-(1.3) 在  $(0, 1) \times (0, \infty)$  上的广义解, 如  $u(x, t)|_{t=0} = u_0(x)$ ,

$u_t|_{t=0} = u_1(x)$ , 且满足条件 (对一切  $T > 0$ )

(1)  $u(x, t) \in L^\infty(0, T; H^2(\Omega) \cap H_0^1(\Omega))$ ,  $u_t \in L^\infty(0, T; H^2(\Omega) \cap H_0^1(\Omega))$ ,

$u_{tt}(x, t) \in L^\infty(0, T; L_2(\Omega))$ , 其中  $\Omega = [0, 1]$ .

(2)  $\int_0^T \int_\Omega [u_{tt} - u_{xx} + f_1(u_t) + f(u)_x - u_{xxt} + g(u)] \bar{\Phi}(x, t) dx dt = 0$ ,

$\forall \bar{\Phi}(x, t) \in C^0(0, T; L_2(\Omega))$ , 且  $\bar{\Phi}|_{x=0} = \bar{\Phi}|_{x=1} = 0$ .

定理4. 若满足引理4条件，则问题(1, 1)–(1, 3)的广义解是存在的。

显然，若对方程(3, 1)的系数和初始条件加上更高的光滑性条件，则对差分解可作更高阶导数的一致性估计，由此我们可得到问题(1, 1)–(1, 3)的光滑解。

以下考虑差分定解问题(2, 1)(2, 2)解的收敛性。现设定解问题(1, 1)–(1, 3)的光滑解在区域 $\Omega = [0, 1] \times [0, 1]$ 上存在。我们有如下定理

定理2. 若满足引理4条件，且设 $u(x, t)$ 和 $\varphi(x, t)$ 分别为问题(1, 1)–(1, 3)和问题(2, 1)–(2, 2)的解，则有

$$\|u - \varphi\|_{C^1(\Omega)} = O(K + h^2) \quad (2.9)$$

于此

$$\|u - \varphi\|_{C^1(\Omega)}^2 = \|u_t - \varphi_t\|_H^2 + \|u_x - \varphi_x\|_H^2 + \|u - \varphi\|_H^2.$$

定理3. 差分定解问题(2, 1)(2, 2)的解关于模 $\|\cdot\|_{C^1(\Omega)}$ 依赖始值是稳定的。

### § 3. 数值计算结果

我们进行数值计算的差分定解问题如下：

$$\phi_{tt} - \phi_{xx} + \phi_t + (\phi^2)_x + f(\phi) = 0$$

$$\phi|_{t=0} = u_0(x_j), \quad \phi_t|_{t=0} = u_1(x_j) \quad j=0, \dots, N.$$

$$\phi|x_0 = \phi|x_N = 0$$

于此  $x_0 = -10, x_N = Nh = 10, x_j = x_{j-1} + h$ .

$$u_1(x) \equiv 0$$

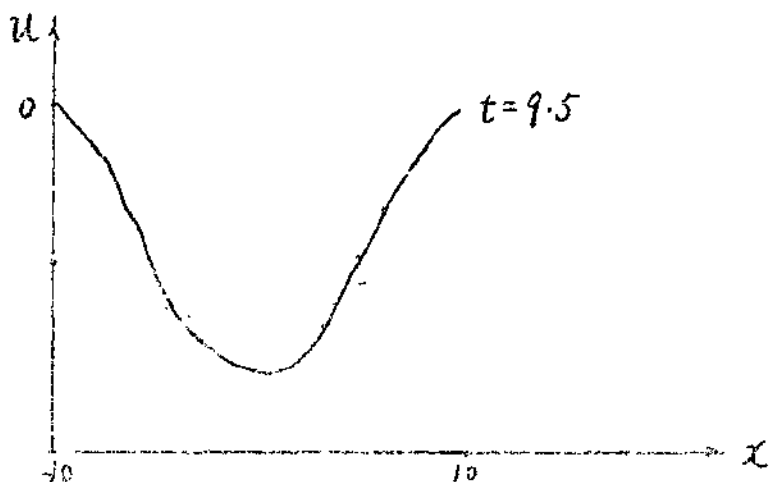
我们对以下具体问题进行了数值计算：

1.  $g(\phi) = \phi^3$

(1)

$$u_0(x) = \begin{cases} 0 & -10 \leq x \leq 0 \\ 20x e^{-0.3/(1-x)^2} & 0 \leq x \leq 1 \\ 0 & 10 \geq x \geq 1 \end{cases}$$

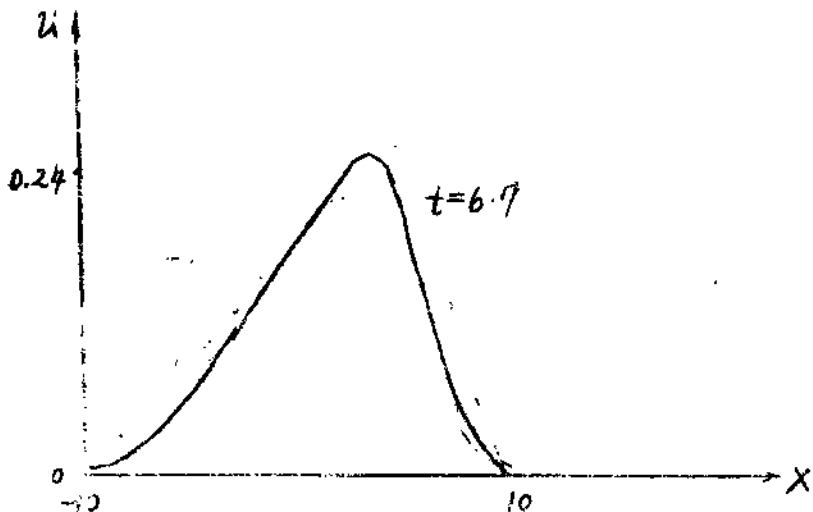
计算结果如图：



(2)

$$u_0(x) = \begin{cases} 0 & -10 \leq x \leq 0 \\ -20x e^{-0.3/(1-x)^2} & 0 \leq x \leq 1 \\ 0 & 1 \leq x \leq 10 \end{cases}$$

计算结果如图：



2. 对  $\psi$  取  $\phi^3$

$u_0$  (如(1)),  $\Delta x$ ,  $h$  均同于(1), 计算到  $t = 0.6$ , 正常, 当  $t = 1.2$  时,  $\phi$  值急剧上升至 3.2, 此后虽然一再缩小时间步长, 终因图形太忙, 计算失效而停止, 即出现了“blow up”的计算图象。从物理上和数学上分析, 可知  $G(u) < 0$ , 可能导致负能量的出现。

### 3. 对 $\psi$ 取不同格式计算的比较

设  $\psi(\phi) = \phi^2$ , 取格式  $(\phi^2)_x$ , 如(1)所示。

若取格式  $(\phi^2)_x$ , 当  $t = 5.775$ , 比较这两种格式所计算的结果是相近的。

若取线性化不迭代格式  $\phi_i^{n+1} = \frac{\phi_{i+1}^n - \phi_i^n}{h}$ , 在(1)条件下进行计算, 计算结果表明是可行的。

## 参 考 文 献

- (1) J. C. BILBECK, G. B. MCGUIRE, J. comp phys. 19(1975), 43-57.
- (2) R. D. parmentier, Fluxons in Long Josephson Junctions, in "Soliton in Action" (Edited by K. Lonngren, and A. Scott, 1978)
- (3) A. Menikoff, comm. pure. math, v r l 25, 1972, 407-432
- (4) W. A. Strauss, L. Vazquez, Printed from Journal of comp phys v r l 28 N 0. 2, 1978
- (5) J. A. O suhunk, yMH, TOM 17, B b l w, 3(1962), 1962